

# Ellipsometrische Untersuchungen von Gitterschwingungen und Bandlückenenergien kubischer $\text{Al}_x\text{Ga}_{1-x}\text{N}$ -Filme

HL 24.18



A. Kasic<sup>#,1</sup>, M. Schubert<sup>1</sup>, D. J. As<sup>2</sup>



<sup>1</sup>Universität Leipzig, Fakultät für Physik und Geowissenschaften, Abteilung Halbleiterphysik, 04103 Leipzig

<sup>2</sup>Universität Paderborn, Fachbereich Physik-Optoelektronik, 33098 Paderborn

E-mail: pge95ipi@studserv.uni-leipzig.de

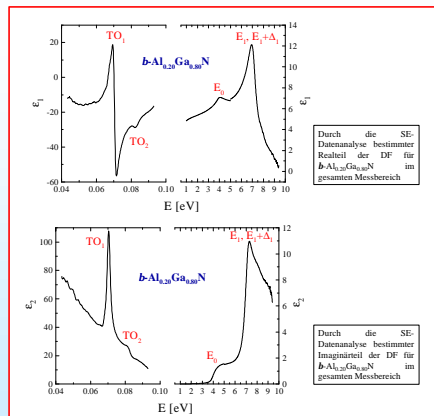
## Einleitung

Die dielektrische Funktion **kubischer  $\text{Al}_x\text{Ga}_{1-x}\text{N}$ -Filme** ( $0 \leq x \leq 0.20$ ) wurde vom fern-infraroten bis zum Vakuum-UV-Spektralbereich ( $250 \text{ cm}^{-1} \dots 9 \text{ eV}$ ), d.h. vom Bereich der Gitterschwingungen bis hin zu den elektronischen Übergängen  $E_1$  und  $E_1 + \Delta_1$ , mittels spektroskopischer **Ellipsometrie** bestimmt. Gruppe-III-Nitride in der metastabilen Zinkblendestuktur zeigen einige physikalische Eigenschaften, die sie gegenüber der hexagonalen Modifikation als **vorteilhaft für elektrische und optoelektronische Anwendungen** erscheinen lassen z.B. einfache Spaltbarkeit, Verfügbarkeit billiger, hoch leitfähiger Substrate, Vermeidung spontaner Polarisierung (piezoelektrischer Effekte)

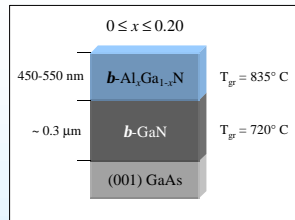
## Zusammenfassung

- ❶ Detektion eines 2-Moden-Verhaltens der TO-Gitterschwingung für  **$b$ -AlGaN** in guter Übereinstimmung mit theoretischen Vorhersagen [1]
- ❷ Verschiebung der GaN- und der AlN-artigen TO-Mode in Abhängigkeit von der Komposition
- ❸ Superlineare Blauverschiebung der fundamentalen Bandlückenenergie mit wachsendem Al-Gehalt
- ❹ Bestimmung der  $E_1$ - und  $E_1 + \Delta_1$ -Übergangsenergien

## Dielektrische Funktion von **$b$ -AlGaN**



## Proben



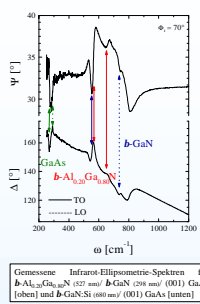
### Wachstumsdaten:

Methode: RF-plasmaunterstützte MBE, Universität Paderborn  
BEP: Ga:  $1 \cdot 10^{-7}$  Torr  
Al:  $2.5 - 6 \cdot 10^{-8}$  Torr  
Wachstumsrate: 80 nm / h

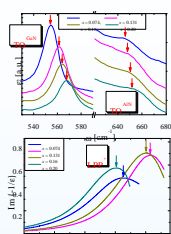
### Charakterisierung:

Komposition: Rutherford-Rückstreuung (RBS), Univ. Freiburg [3]  
Kristallqualität: Hochauflösende Röntgenbeugung (HRXRD) [3]  
Schichtdicken: UV-VIS-SE-Datenanalyse  
Parameter freier Ladungsträger: Hall-Effekt [3]:  
für alle Filme  $N \approx 10^{20} \text{ cm}^{-3}$ ,  $\mu \approx 20 \text{ cm}^2/(\text{Vs})$

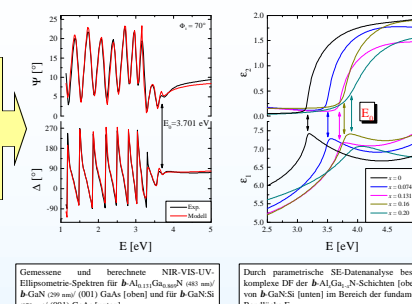
## IR-Ellipsometrie (250 ... 1500 cm<sup>-1</sup>)



Gemessene Infrarot-Ellipsometrie-Spektren für  $b$ - $\text{Al}_{0.20}\text{Ga}_{0.80}\text{N}$  (450 nm) &  $b$ -GaN (298 nm) / (001) GaAs [oben] und  $b$ -GaN:Si (680 nm) / (001) GaAs [unten]

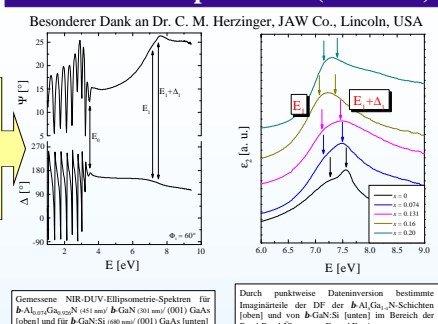


## NIR-VIS-UV-Ellipsometrie (1...5 eV)



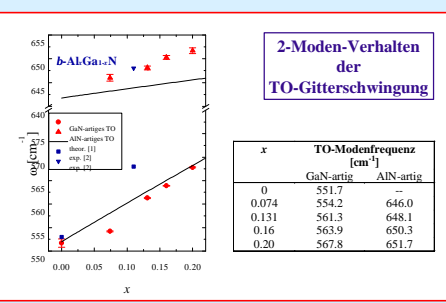
Gemessene und berechnete NIR-VIS-UV-Ellipsometriespektren für  $b$ - $\text{Al}_{0.15}\text{Ga}_{0.85}\text{N}$  (485 nm) &  $b$ -GaN:Si (680 nm) / (001) GaAs [oben] und für  $b$ -GaN:Si (680 nm) / (001) GaAs [unten] im Bereich der fundamentalen Bandlücke  $E_1$

## VUV-DUV-Ellipsometrie (5 ... 9 eV)



Gemessene NIR-DUV-Ellipsometriespektren für  $b$ - $\text{Al}_{0.20}\text{Ga}_{0.80}\text{N}$  (45 nm) &  $b$ -GaN (30 nm) / (001) GaAs [oben] und für  $b$ -GaN:Si (680 nm) / (001) GaAs [unten] im Bereich der Band-Band-Übergänge  $E_1$  und  $E_1 + \Delta_1$

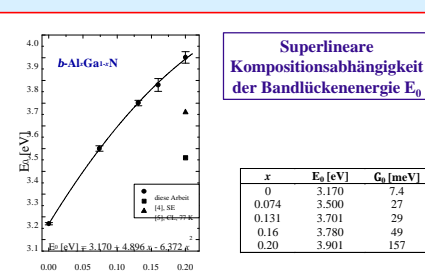
## Phononenmoden



### 2-Moden-Verhalten der TO-Gitterschwingung

x	TO-Modenfrequenz [cm <sup>-1</sup> ]	GaN-artig	AlN-artig
0	551.7	--	
0.074	554.2	646.0	
0.131	561.3	648.1	
0.16	563.9	650.3	
0.20	567.8	651.7	

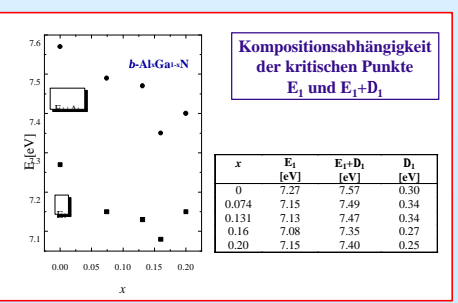
## Bandlücke $E_0$



### Superlineare Kompositionshängigkeit der Bandlückenenergie $E_0$

x	$E_0$ [eV]	$G_0$ [meV]
0	3.170	7.4
0.074	3.500	27
0.131	3.701	29
0.16	3.780	49
0.20	3.901	157

## Band-Band-Übergänge $E_1$ , $E_1 + \Delta_1$



### Kompositionshängigkeit der kritischen Punkte $E_1$ und $E_1 + \Delta_1$

x	$E_1$ [eV]	$E_1 + \Delta_1$ [eV]	$D_1$ [eV]
0	7.27	7.57	0.30
0.074	7.15	7.49	0.34
0.131	7.13	7.47	0.34
0.16	7.08	7.35	0.27
0.20	7.15	7.40	0.25